

بررسی تکرارپذیری مقادیر زمان تأخیری فعالیت واکنشی عضلات مج پا در مقابل اغتشاش بیرونی ناگهانی در صفحه فرونتال

چکیده

*دکتر بهنام اخباری

دکترای فیزیوتراپی، عضوهایات علمی
دانشگاه علوم بهزیستی و توانبخشی

دکتر اسماعیل ابراهیمی

استاد دانشگاه علوم پزشکی ایران

دکتر مهیار صلواتی

دکترای فیزیوتراپی، استادیار دانشگاه
علوم بهزیستی و توانبخشی

دکتر حسین فراهینی

متخصص ارتوپدی، دانشیار دانشگاه
علوم پزشکی ایران

مهندس محمدعلی سنجرجی

کارشناس ارشد بیومکانیک، عضو
هیات علمی دانشگاه علوم بهزیستی و
توانبخشی

هدف: هدف از این تحقیق تعیین تکرارپذیری زمان بندی فعالیت عضلانی مج پا بر روی سیستم اغتشاش مج پا در صفحه فرونتال تحت شرایط مختلف اغتشاش بیرونی می‌باشد.

زمان تأخیری شروع فعالیت، دامنه حداکثر فعالیت و زمان تأخیری حداکثر فعالیت عضلات مج پا ۱۰ مرد وزن سالم و ۱۰ زن مبتلا به بی ثباتی مج پا دریک مطالعه متعدد لوژیک مورد آزمون قرار گرفت.

روش بررسی: زمان تأخیری شروع فعالیت، دامنه حداکثر فعالیت و زمان تأخیری حداکثر فعالیت عضلات مج پا متعاقب اینورژن ناگهانی مج پا توسط سیستم اغتشاش مج پا الکترومیووگرافی سطحی تعیین گردید.

یافته‌ها: دامنه مقادیر CICC برای زمان تأخیری شروع فعالیت عضلات پرونئوس لانگوس (۰/۹۷-۰/۷۱)، تیبیالیس قدامی (۰/۹۹-۰/۷۵)، پرونئوس برویس (۰/۸۳-۰/۰) و سولئوس (۰/۹۷-۰/۰) در زوایای ۲۰ و ۳۰ درجه در صفحه فرونتال می‌باشد. این دامنه مقادیر برای دامنه حداکثر فعالیت عضلات پرونئوس لانگوس (۰/۹۹-۰/۰-۰/۸۱)، تیبیالیس قدامی (۰/۹۹-۰/۹)، پرونئوس برویس (۰/۶۴-۰/۰) و سولئوس (۰/۹۸-۰/۰-۰/۹۸) بوده و برای زمان تأخیری حداکثر فعالیت عضلات پرونئوس لانگوس (۰/۹۹-۰/۰-۰/۶۹)، تیبیالیس قدامی (۰/۹۹-۰/۰-۰/۷۱)، پرونئوس برویس (۰/۹۹-۰/۰-۰/۹۱) و سولئوس (۰/۹۹-۰/۰-۰/۶۹) بدست آمد.

نتیجه‌گیری: تعیین زمان بندی فعالیت عضلات مج پا به عنوان روش اندازه‌گیری تکرارپذیر ثابت گردید.

کلید واژه‌ها: زمان تأخیری / مفصل مج پا / اغتشاش بیرونی / بی ثباتی عملکردی / تکرارپذیری

این مقاله جزو مقالات برگزیده یازدهمین جشنواره تحقیقاتی علوم پزشکی رازی می‌باشد



مقدمه

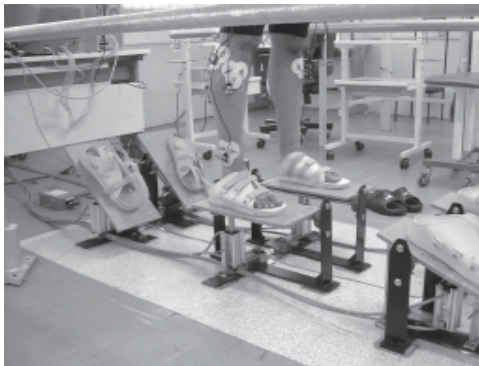
علی‌رغم درمانهای مطلوب، ضایعات حاد لیگامانهای خارجی مفصل مچ پا ممکن است منجر به بی‌ثباتی عملکردی مچ پا (Instability = FAI) (FAI) Functional Ankle Instability در ۲۰ درصد بیماران گرددند(۱). فریمن و همکارانش، جراحات مکرر اینورزنانل مچ پا و احساس خالی شدن آنرا بعنوان معیارهای توصیف بی‌ثباتی عملکردی بکاربردند(۲).

در سالهای اخیر، اندازه‌گیری زمان تأخیری فعالیت واکنشی عضلات پرونال در مقابل اغتشاش بیرونی ناگهانی اینورزنانل مچ پا به روی دستگاه ایجاد کننده اغتشاش برای تعیین نقص حس عمقی در موارد بی‌ثباتی عملکردی به کرات مورد استفاده قرار گرفته است (۳-۷). اکثر محققین بر طلازی شدن زمان تأخیری فعالیت واکنشی عضلات پرونال در موارد FAI تأکید نموده‌اند (۸-۹). همچنین روش‌های تجربی گوناگونی جهت اندازه‌گیری زمان تأخیری فعالیت واکنشی عضلات پرونال تاکنون معرفی گشته است (۱۱-۱۶). از آنجایی که برای ارزیابی پاسخ الکترومیوگرافیک در مفصل مچ پا در نظر گرفتن سه خصوصیت زمان تأخیری شروع فعالیت، ترتیب وارد عمل شدن و دامنه حداکثر فعالیت عضلات اطراف مچ پا ضروری به نظر می‌رسد (۱۲)، لذا در تحقیق حاضر کلیه موارد مذکور برای عضلات پرونال، تیبیالیس قدامی و سولئوس محاسبه گشته است. لحاظ نمودن زوایای مختلف اغتشاش (۱۰، ۲۰ و ۳۰ درجه) تحت شرایطمنتظره و غیرمنتظره در این پژوهش نیز از جمله مواردی است که کمتر در تحقیقات به عمل آمده تا به امروز مورد توجه و بررسی قرار گرفته است. بنابراین هدف از این مطالعه تحقیق تعیین تکارپذیری زمان‌بندی فعالیت عضلانی مچ پا به روی سیستم اغتشاش مچ پا در صفحه فرونتال تحت شرایط مختلف اغتشاش بیرونی می‌باشد.

روش بررسی

۱- جامعه و نمونه پژوهش:

۱۰ فرد سالم (۵ مرد و ۵ زن) و ۱۰ فرد مبتلا به FAI (۵ مرد و ۵ زن) با دامنه سنی ۳۰-۱۸ سال در این تحقیق شرکت نمودند. توضیح اینکه برای جلوگیری ازورود بیماران مبتلا به تغییرات دُنراتیومفصیل مچ پا، سن آزمودنی ها در محدوده ۳۰-۱۸ سال انتخاب شد. معیارهای حذف و انتخاب آنان شامل موارد ذیل بود: ۱- آسیب اندام تحتانی یاستون فقرات، ۲- بیماریهای نورولوژیک یا عصبی عضلانی، ۳- نقص سیستم وستیبولا، ۴- کمردرد آنالیز مربوطه محاسبه و ثبت گردید.



شکل ۱: APS(فرونتال) و نحوه قرارگیری آزمودنی بروی آن

واضح در طی ۶ ماه گذشته، ۵- تغییرات حسی اندام تحتانی، ۶- بی‌ثباتی عملکردی مچ پاها، ۷- آسیب مچ پا در طی ۳ ماه گذشت، ۸- سابقه شکستگی، دررفتگی، اختلالات بیومکانیک اندام تحتانی، ۹- تجربه حداقل یکبار پیچ خودگی اینورزنانل واضح دریکی از مچ پاها در طی یکسال اخیر، ۱۰- عدم وجود مدرکی دال برای بیانی مکانیکال در مچ پای گرفتار. شایان ذکر است موارد ۵ و ۸ جزو معیارهای حذف دوگروه سالم و بیمار بوده در حالیکه موارد ۶ و ۹ جزو معیارهای انتخاب گروه بیمار محسوب گشت. مورد ۷ جزو معیارهای حذف گروه سالم در نظر گرفته شد. شایان ذکر است قبل از انجام آزمون، توضیح مختصه درموردپژوهش حاضر به هریک از آزمودنیها داده شده و سپس رضایت‌نامه آگاهانه ازوی اخذ‌گردید. به منظور به حداقل رسانیدن تاثیرات جانبی و عوامل مداخله گر، از آزمودنیها خواسته شد که دو هفته قبل از آزمون از انجام تمرین یا فعالیتهای ورزشی اجتناب نمایند.

۲- ابزار و نحوه گردآوری اطلاعات:

اغتشاش ناگهانی اینورزنانل مچ پا بروی دستگاه trapdoor Perturbation System (APS) تحت عنوان سیستم اغتشاشی مچ پا (APS) (۱). این سیستم قابلیت ایجاد Ankle (Ankle) نامیده می‌شود، ایجاد شد. (شکل ۱). این سیستم قابلیت ایجاد اغتشاش در هر سه صفحه فرونتال، ساجیتال و مایل را دارا بوده اما در این مطالعه تنها به گزارش داده‌های مربوط به صفحه فرونتال اکتفا شده است. زوایای اغتشاش، ۱۰، ۲۰ و ۳۰ درجه انتخاب و شرایط اغتشاش به هردو صورت منتظره و غیرمنتظره تکرار گردید. اصول کار دستگاه به اینصورت است که هر قسمت از دستگاه دارای دو سکو بوده که حول یک محور طولی دوران محدود می‌کند. نحوه انجام آزمون به این صورت است که آزمودنی هر پای خود را روی یکی از این سکوها گذاشته و در موقع مناسب که وزن شخص بطور تقریباً مساوی روی دو پایش توزیع شده باشد، آزمونگر کلید رهایش را زده و سکوی زیریکی از پاهای فرد حد اکثر تا ۳۰ درجه دوران می‌نمود.

در این حین بطور پیوسته فعالیت الکتریکی سطحی عضلات (KEMG) (Kinesiologic Electromyography) ثبت گردید. لحظه‌آغاز اغتشاش تا شروع فعالیت مؤثر عضلات به عنوان زمان تأخیری شروع فعالیت واکنشی عضلانی بر حسب میلی ثانیه محاسبه گشت. همچنین ترتیب فعال شدن، زمان تأخیری حداکثر فعالیت و دامنه حداکثر فعالیت عضلات توسط نرم افزار آنالیز مربوطه محاسبه و ثبت گردید.



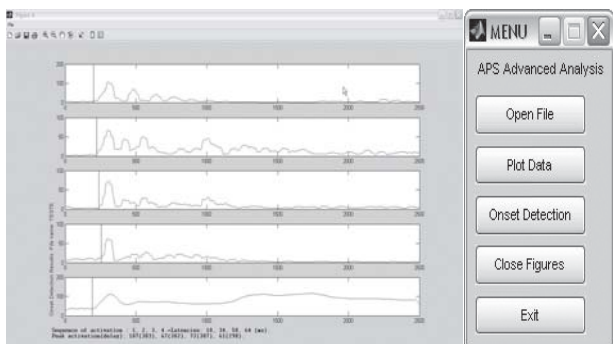
شد، صفحه دستگاه APS آزاد گردید. کلیه آزمونها در شرایط غیرمنتظره با چشمان بسته و حذف فیدبک شنوازی (از طریق گذاشتن هدفون مجهز به دستگاه MP3 Player) انجام شد.



شکل ۳: نحوه نصب الکترودهای EMG

۳- تعیین زمان بندی عضلانی توسط نرم افزار APS Analysis:

این نرم افزار که با برنامه LabView برنامه ریزی شده است، برای تعیین شروع سیگنال نیرو، شروع فعالیت عضلانی نسبت به زمان رهایش سکو و محاسبه خودکار زمان تأخیری شروع فعالیت، زمان تأخیری حداکثر فعالیت و دامنه حداکثر فعالیت بکار گرفته شد (شکل ۴).



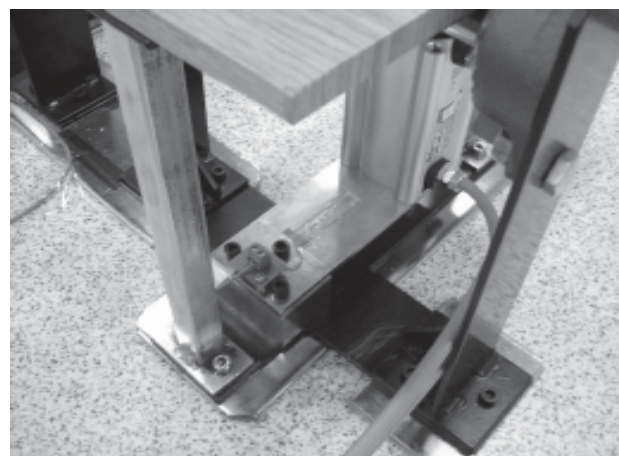
شکل ۴: نرم افزار APS Analysis و تعیین زمان بندی عضلانی

۴- روشهای آماری:

به منظور ارزیابی میزان تکرار پذیری نسبی اندازه‌های زمان تأخیری شروع فعالیت، زمان تأخیری حداکثر فعالیت و دامنه حداکثر فعالیت عضلات مورد مطالعه از محاسبه شاخص (Intraclass Correlation Coefficient) ICC برای تک تک متغیرها به صورت جداگانه استفاده شده است.

عضلات مورد استفاده در آزمون شامل پرونئوس لونگوس و برویس، تیبیالیس قدامی و سولئوس بودند. از الکترودهای فعال سطحی (نقره-کلرید نقره) دو قطبی (فاصله بین دو الکترود ۲۵ میلی متر) با پره آمپلی فایر 108 dB (typical) CMRR, and 10 ohms input impedance استفاده شد. دستگاه الکترومویوگرافی از نوع CT8 و ۸ کاناله بود. (MIE Medical Research Ltd., UK). فیلترینگ سیگنالهای EMG در دامنه ۵۰۰ - ۱۰۰۰ هرتز صورت گرفت.

حالت عادی نگهداشتن سکوها به عهده سیلندرهای بادی (Pneumatic) بوده که توسط شیرهای کنترل دستی ۵/۲ نصب شده روی میز فرمان، توسط آزمونگر در موقع مناسب فعال می‌شوند. واحد تأمین هوای فشرده و آماده سازی (فیلترینگ و مراقبت) نیز با توجه به شرایط محیطی آزمایشگاه طراحی و پیاده سازی شد. برای اطمینان از ایستادن متقارن فرد (از لحاظ وزنی) قبل از انجام آزمون، وزن وارد به هر یک از سیلندرها از طریق تیریکسر گیردار و کرنش سنج (strain gauge) اندازه گیری شد برای این منظور، مدار تقویت کننده مقایسه‌ای طراحی شده است. از آنجاکه مقایسه نسبی بین دو پا مدنظر بوده، کالیبراسیون کرنش سنج‌ها و ابعاد تیر اندازه گیری تا حد قابل قبولی صورت گرفته و از لحاظ سخت افزاری نیز قابل تکرار و تنظیم بود (شکل ۲).



شکل ۲: محل نصب کرنش سنج بروی APS

قبل از انجام آزمون، آزمودنی شورت ورزشی پوشیده و پوست ساق وی (در محل چسباندن الکترودها) توسط محلول آب و صابون والکل ۷۰٪ تمیز گشته و بوسیله تیغ و سمباده نرم مقاومت الکتریکی آن به حداقل ممکن رسانده شد. الکترودهای سطحی مربوط به دستگاه الکترومویوگرافی کینزیولوژیک (KEMG) بر روی عضلات پرونئال، تیبیالیس انتریور و سولئوس مطابق منابع معتبر مربوطه قرارداده شد. (شکل ۳). صحیح بودن محل الکترودگذاری توسط انقباضات ایزوله عضلات مورد آزمایش و مشاهده همزمان حرکات اختصاصی ایجاد شده در پا و مقایسه آن بالگوهای عضلانی الکترومویوگرافیک اختصاصی بر روی صفحه نمایشگر رایانه، موردتایید قرار گرفت. ضمن اینکه عمل الکترودگذاری تنها توسط محقق انجام پذیرفت. زمانیکه سیگنالهای الکترومویوگرافی (EMG) منتج از عضلات مربوطه فعالیت زمینه‌ای رانشان داده و وزن شخص بطور تقریباً مساوی روی دو پایش توزیع



جدول شماره ۱: مقادیر ICC جهت تعیین تکرارپذیری نسبی عضلات مچ با در شرایط مختلف آزمون

متغیر	عضله			
	پرونئوس لانگوس	تیبیالیس قدامی	پرونئوس برویس	سوئنس
F10RE L ^a	۰/۹۵	۰/۹۷	۰/۹۶	۰/۹۸
F10LE L ^a	۰/۹۷	۰/۹۷	۰/۸۳	۰/۹۹
F20RE L ^a	۰/۷۱	۰/۹۷	۰/۸۳	۰/۹۹
F20LE L ^a	۰/۷۳	۰/۹۶	۰/۹۹	۰/۹۹
F30RE L ^a	۰/۹۶	۰/۹۹	۰/۹۷	۰/۹۷
F30LE L ^a	۰/۸۶	۰/۹۸	۰/۹۸	۰/۹۹
F10RU L ^a	۰/۹۲	۰/۹۶	۰/۹۷	۰/۹۷
F10LU L ^a	۰/۸۰	۰/۹۷	۰/۹۸	۰/۹۹
F20RU L ^a	۰/۷۸	۰/۹۹	۰/۹۸	۰/۹۹
F20LU L ^a	۰/۸۴	۰/۷۵	۰/۹۷	۰/۹۹
F30RU L ^a	۰/۹۳	۰/۹۸	۰/۹۴	۰/۹۹
F30LU L ^a	۰/۹۴	۰/۹۸	۰/۹۸	۰/۹۹
F10REP	۰/۸۲	۰/۹۹	۰/۹۹	۰/۹۹
F10LEP	۰/۹۳	۰/۹۹	۰/۹۹	۰/۹۹
F20REP	۰/۹۷	۰/۹۹	۰/۹۷	۰/۹۸
F20LEP	۰/۸۱	۰/۹۹	۰/۹۹	۰/۹۹
F30REP	۰/۹۵	۰/۹۹	۰/۹۹	۰/۹۹
F30LEP	۰/۹۸	۰/۹۹	۰/۹۸	۰/۹۹
F10RUP	۰/۹۹	۰/۹۰	۰/۹۹	۰/۹۹
F10LUP	۰/۹۸	۰/۹۹	۰/۹۹	۰/۹۹
F20RUP	۰/۹۸	۰/۹۹	۰/۹۹	۰/۹۹
F20LUP	۰/۹۴	۰/۹۹	۰/۶۴	۰/۹۹
F30RUP	۰/۹۵	۰/۹۹	۰/۹۰	۰/۹۹
F30LUP	۰/۸۶	۰/۹۹	۰/۸۹	۰/۹۹
F10RET	۰/۹۶	۰/۸۰	۰/۹۹	۰/۹۹
F10LET	۰/۹۹	۰/۹۹	۰/۹۵	۰/۹۹
F20RET	۰/۹۶	۰/۹۹	۰/۹۱	۰/۹۹
F20LET	۰/۹۳	۰/۹۹	۰/۹۹	۰/۹۹
F30RET	۰/۹۴	۰/۷۱	۰/۹۹	۰/۹۹
F30LET	۰/۹۲	۰/۹۶	۰/۹۹	۰/۹۹
F10RUT	۰/۸۹	۰/۸۵	۰/۹۹	۰/۹۹
F10LUT	۰/۹۹	۰/۸۱	۰/۹۹	۰/۹۹
F20RUT	۰/۹۹	۰/۹۹	۰/۹۹	۰/۶۹
F20LUT	۰/۹۹	۰/۹۹	۰/۹۹	۰/۹۹
F30RUT	۰/۹۰	۰/۹۹	۰/۹۳	۰/۹۹
F30LUT	۰/۹۹	۰/۹۹	۰/۹۹	۰/۹۸

یافته ها

جدول شماره دو نتایج حاصله از محاسبه مقادیر ICC برای هریک از متغیرهای مورد مطالعه را به تفکیک نمایش می‌دهد. مقادیر ICC با حدود اطمینان ۹۵٪ و سطح آلفا ۰/۰۵ محاسبه شده است (جدول ۱). همانگونه که در جدول شماره دو مشاهده می‌شود دامنه مقادیر ICC برای زمان تأخیری شروع فعالیت عضلات پرونئوس لانگوس (۰/۷۱-۰/۹۷)، تیبیالیس قدامی (۰/۹۰-۰/۷۵)، پرونئوس برویس (۰/۸۳-۰/۹۹) و سولئوس (۰/۹۷-۰/۹۹) در زوایای ۲۰° و ۳۰° درجه در صفحه فرونتال می‌باشد. این دامنه مقادیر برای دامنه حداکثر فعالیت عضلات پرونئوس لانگوس (۰/۹۹-۰/۸۱)، تیبیالیس قدامی (۰/۹۶-۰/۹۰)، پرونئوس برویس (۰/۹۹-۰/۸۴) و سولئوس (۰/۹۹-۰/۸۶) بدست آمد.

توضیح اینکه در جداول، حروف F برای صفحه فرونتال، R برای سمت راست، La برای زمان تأخیری شروع فعالیت، P به جای دامنه حداکثر فعالیت، T به جای زمان تأخیری حداکثر فعالیت بکار رفته و اعداد ۲۰° و ۳۰° بیانگر زاویه اختشاش (بر حسب درجه) می‌باشند.

بحث

در این مطالعه مقادیر زمان شروع فعالیت عضلانی به صورت فاصله زمانی بین شروع حرکت سکو و شروع اولین فعالیت الکتریکی واکنشی عضله تعریف شده است. این تعریف با روش مورد استفاده توسط محققین قبلی نظیر کارلسون و آندرسون (۱۳)، کاندرادسن و راون و بنچ (۱۴) مطابقت دارد. با ملاحظه مقادیر میانگین بدست آمده در این مطالعه بنظر می‌رسد که روش مورد استفاده به لحاظ یافته‌ها قابل مقایسه با مقادیر متون موجود باشد (۷ و ۱۵). با این حال تاکنون تا جایی که در دسترس نویسندهای این مقاله قرار داشته، هیچگونه مطالعه ای به منظور دستیابی به ارزیابی دو ویژگی مربوط به پاسخ واکنشی الکتروموگرافیک یعنی زمان تأخیری حداکثر فعالیت و دامنه حداکثر فعالیت انجام نگرفته و تحقیق حاضر احتمالاً اولین مطالعه در این زمینه بشمار می‌رود.

علاوه در تحقیق حاضر موقعیت‌های متنوع تری در قالب وضعیت‌های آزمون پیش‌بینی گشته است. یکی از این موقعیت‌ها، وضعیت منتظره یا غیرمنتظره بودن اختشاش و ضعیتی تحمیل شده به مفصل مچ پا بود. به عبارت دیگر در این تحقیق ویژگی‌های فعالیت الکتریکی عضلانی در پاسخ به شرایط اغتشاش که آزمودنی از زمان و جهت اغتشاش آگاه بوده یا اطلاع نداشته، لحاظ شد. مسلماً این دو موقعیت به لحاظ سازوکارها و نحوه برنامه ریزی فعالیت عضلانی تفاوت‌های فاحشی با یکدیگر داشته و ارزیابی تکرارپذیری در هر دو این موقعیت‌ها می‌تواند شروع و راهگشای مناسبی برای انجام تحقیقات مقایسه‌ای و مداخله‌ای در آینده باشد (۱۷ و ۱۸).





نتیجه‌گیری

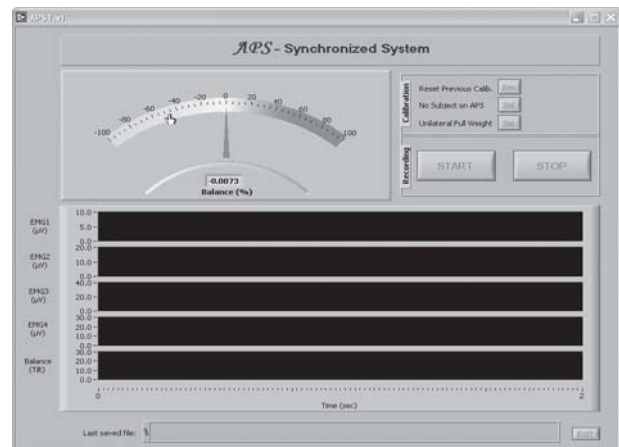
با ملاحظه مقادیر ICC بدست آمده مندرج در جدول شماره دو میتوان چنین نتیجه گیری نمود که در اکثر موقعیتها وویژگی های عضلات مورد مطالعه، روش بکار رفته برای بررسی زمانبندی فعالیت واکنشی عضلات مج پا در پژوهش حاضر، از سطح تکرار پذیری عالی برخوردار است. شایان ذکر است که مقادیر ICC محاسبه شده بالای سطح ۸۵ درصد برای زمان تأخیری شروع فعالیت عضلات پرونئوس لانگوس (٪ ۵۸)، تیبیالیس قدامی (٪ ۹۲)، پرونئوس برویس (٪ ۸۳) و سولئوس (٪ ۱۰۰)، برای دامنه حداکثر فعالیت عضلات پرونئوس لانگوس (٪ ۸۳)، تیبیالیس قدامی (٪ ۱۰۰)، پرونئوس برویس (٪ ۹۲) و سولئوس (٪ ۱۰۰) برای زمان تأخیری حداکثر فعالیت عضلات پرونئوس لانگوس (٪ ۱۰۰)، تیبیالیس قدامی (٪ ۷۵) پرونئوس برویس (٪ ۱۰۰) و سولئوس (٪ ۹۲) بدست آمد که در تحقیقات کنترل حرکت به عنوان تکرار پذیری عالی محسوب می شود.

تشکر و قدردانی

با تشکر از جناب آقای دکتر محمد تقی جغتاوی ریاست محترم دانشگاه علوم بهزیستی و توانبخشی، جناب آقای دکتر سید محمد ابراهیم موسوی معاونت محترم آموزشی دانشگاه علوم بهزیستی و توانبخشی، جناب آقای شروین کریمی فیزیوتراپیست، جناب آقای دکتر امیر مسعود عرب عضو محترم هیأت علمی دانشگاه علوم بهزیستی و توانبخشی و جناب آقای دکتر محمد جعفر شاطرزاده ریاست محترم دانشکده توانبخشی دانشگاه علوم پزشکی اهواز.

از سوی دیگر مطالعات بالینی و آزمایشگاهی نشان داده اند که آسیبهای مج پا در زوایای گوناگون قرار گیری این مفصل در وضعیت تحمل وزن رخ می دهد (۱۰ و ۲۰). از آنجاییکه مطالعات قبلی صرفاً "به بررسی تکرار پذیری ویژگی های سیگنال EMG در پاسخ به اختشاش وضعیت تمها در یک زاویه اکتفا نموده اند (۵ و ۲۱) . لذا در تحقیق حاضر موقعیت های متنوع تری از زاویه اختشاش در نظر گرفته شد. بطوریکه علاوه بر زاویه ۳۰ درجه (حداکثر اختشاش) زوایای ۱۰ درجه نیز مورد بررسی قرار گرفت. این جنبه امتیاز چشم گیری بوده که با اثبات تکرار پذیری اندازه ها، میتوانست کمک شایان توجه ای در جهت انجام پژوهش های بعدی در این زمینه بنماید.

علاوه بر تنوع وسیع موقعیت های آزمون در این تحقیق، مطالعه حاضر از نظر روشها و ابزار نیز واجد امتیازاتی بوده که بنظر مری رس تحقیقات قبلی فاقد آن باشد (۲۱ و ۲۳) . عبارت دیگر به منظور بهینه سازی و کنترل متغیرهای مخدوش کننده دخیل در ایجاد تغییرات در ویژگی های سیگنال EMG، در این پژوهش به لحاظ فنی تمهیداتی اندیشیده شد که می تواند این روش را نسبت به تحقیقات پیشین از سطح اعتبار بالاتری برخوردار نماید. از جمله این امتیازات می توان به کنترل دائم چشمی توزیع وزن از طریق ترازوی منتج از سیگنال کرنش سنج بروی نرم افزار APS - Synchronized System در APS- synchronized System نمایش گرایانه، محاسبه نرم افزاری زمان تأخیری شروع فعالیت، زمان تأخیری حداکثر فعالیت و دامنه حداکثر فعالیت نسبت به سیگنال اختشاش، استفاده از پمپ باد برای یکنواخت کردن رهایش سکوها و ایجاد اختشاش و امکان انجام کالیبراسیون متعدد قبل از شروع هر آزمون توسط نرم افزار فوق الذکر اشاره نمود (شکل ۵).



شکل ۵: نمایی از نرم افزار APS- Synchronized System

منابع:

- 1-Holmer P, Sondergaard L, Konradsen L, Nielsen PT, Jorgensen LN. Epidemiology of sprains in the lateral ankle and foot. *Foot Ankle Int.* 1994; 15: 72-74.
- 2-Freeman MAR. Instability of the foot after injuries to the lateral ligament of the ankle. *J Bone Joint Surg Br.* 1965; 47: 669-677.
- 3- Isakov E ,Mizrahi J ,Solzi P ,Susak Z. Response of the peroneal muscles to sudden inversion of the ankle during standing. *Int J Sport Biomech.* 1986; 2: 100-109.
- 4- Johnson MB ,Johnson CL. Electromyographic response of peroneal muscles in surgical and nonsurgical injured ankles during sudden inversion . *J Orthop Sports Phys Ther.* 1993; 18: 497-501.
- 5-Lynch SA ,Eklund U ,Gottlieb D ,Renstrom PAFH ,Beynnon B. Electromyographic latency changes in the ankle musculature during inversion moments. *Am J Sports Med.* 24(3): 1996;24(3): 362-369.
- 6-Kaminski TW ,Perrin DH ,Gansneder BM. Eversion strength analysis of uninjured and functionally unstable ankles . *J Athl Train.* 34(3):1999; 34 (3): 239-201.
- 7- Fernandes N ,Allison GT , Hopper D . Peroneal latency in normal and injured ankles at varying angles of perturbation. *Clin Orthop Relat Res.* 2000; 375: 193-201.
- 8- Konradsen L, Ravn JB. Prolonged peroneal reaction time in ankle instability. *Int J Sports Med.* 1991; 12: 290-292.
- 9-Lofvenberg R ,Karrholm J,Sundelin G ,Ahlgren O. Prolonged reaction time in patients with chronic lateral instability of the ankle. *Am J Sports Med.* 1995; 23: 414-417.
- 10-Hertel J. Functional instability following lateral ankle sprain. *Sports Med.* 29:361-371, 2000.
- 11-Konradsen L. Sensorimotor control of the uninjured and injured human ankle. *J Electromyography Kinesiol.* 2002; 12: 199-203.
- 12- Riemann BL ,Myers JB, Lephart SM. Sensorimotor system measurement techniques. *J Athl Train.* 37(1):2000; 37(1): 85-98.
- 13- Karlsson J, Andreasson GO. The effect of external ankle support in chronic lateral ankle joint instability . An electromyographic study. *Am J Sports Med.* 1992; 20: 257-261.
- 14- Benesch S ,Pütz W ,Rosebaum D , Becker HP. Reliability of peroneal reaction time measurements. *Clin Biomech.* 2000; 15: 21-28.
- 15-Johnson MB, Johnson CL. Electromyographic response of peroneal muscles in surgical and nonsurgical injured ankles during sudden inversion. *Journal of Orthopaedic and Sports Physical Therapy.*1993; 18: 497-501.
- 16- Hughes MA ,Schenkman ML ,Chandler JM ,Studenski SA . Postural responses to platform perturbation :Kinematics and electromyography. *Clin Biomech.* 1995; 10(6): 318-322.
- 17- Tjernström F ,Fransson PA ,Halfström A ,Magnusson M. Adaptation of postural control to perturbations – a process that initiates long– term motor memory. *Gait Posture.* 2000; 15: 75-82.
- 18- Konradsen L, Voigt M ,Hojsgaard C. Ankle inversion injuries. The role of the dynamic defense mechanism. *Am J Sports Med.* 1997; 25: 54-58.
- 19- Mann G ,Perry H ,Nyska M ,Matan Y ,Frankl U ,Finsterbuch A. Ankle sprain: occurrence of chronic functional instability and its chronic relation to mechanical instability.A prospective study. Presented at the 9th international Jerusalem Symposium on Sports Injuries, 1993.
- 20- Willems T, Witvrouw E, Verstuyft J, Vaes P, De Clercq D. Proprioception and muscle strength in subjects with a history of ankle sprains and chronic instability. *J Athl Train.* 2002; 34(4): 487-793.
- 21- Hopper D, Allison G ,Fernandes N,O'Sullivan L ,Wharton A.Reliability of the peroneal latency in normal ankles . *Clin Orthop.* 1998; 350: 159-165.
- 22- Kaminski TW ,Perrin DH ,Gansneder BM. Eversion strength analysis of uninjured and functionally unstable ankles . *J Athl Train.* 1999; 34(3): 239-245.
- 23- Vaes P., Duquet W., Gheluwe B.V.Peroneal reaction times and eversion motor response in healthy and unstable ankles, *J. Athl Train.* 2002; 37(4), p.475.

